

**ВЛИЯНИЕ УТОНЬШЕНИЯ ПОДЛОЖКИ  
НА ОПТИЧЕСКИЕ СВОЙСТВА  
ЭПИТАКСИАЛЬНЫХ СЛОЕВ АРСЕНИДА ГАЛЛИЯ  
(ЭФФЕКТ ДАЛЬНОДЕЙСТВИЯ)**

Кладько В. П., Крыштаб Т. Г., Клейнфельд Ю. С.,  
Семенова Г. Н., Хазан Л. С.

Исследовалось влияние различных механических способов утоньшения подложки на структурное совершенство и спектры низкотемпературной фотолюминесценции эпитаксиальных слоев  $n\text{-GaAs}(S)$ . Показано, что в результате утоньшения методом шлифовки происходят гашение экситонной полосы 1.515 эВ и возгорание полосы 1.409 эВ, связанной с рекомбинацией на комплексах дефектов, в том числе и дислокационной природы.

Предлагается дислокационная модель «эффекта дальнов действия».

Эпитаксиальные структуры арсенида галлия с общей толщиной субмикронного слоя и подложки менее 100 мкм используются для изготовления СВЧ транзисторов и интегральных схем. Это обусловлено необходимостью уменьшения теплового сопротивления, увеличения отдаваемой мощности, коэффициента полезного действия и т. д. Кроме того, использование «тонких» подложек сокращает длину термоомпрессионных соединений, т. е. уменьшает паразитные индуктивности выводов, что позволяет увеличить рабочие частоты и широкополосные свойства транзисторов. Первоначально приборы формируются на более толстых подложках ( $\sim 400$ –600 мкм) с последующим утоньшением до требуемой толщины [1].

Для утоньшения используются различные методы: механическая шлифовка, механическая полировка, химическое травление и их сочетание. Обычно неявно предполагается, что в процессе утоньшения не происходит перераспределения деформационных полей и существенного дефектообразования, или что это не приводит к изменению электрофизическими параметров рабочих эпитаксиальных слоев GaAs, формирующих эксплуатационные характеристики приборов. Исследование влияния утоньшения подложки на оптические свойства эпитаксиальных слоев GaAs и посвящена настоящая работа.

В работе изучалось влияние различных способов утоньшения подложки на деформации и дефектообразование в субмикронных слоях GaAs, при этом исследовались спектры низкотемпературной близкрайевой фотолюминесценции (ФЛ), весьма чувствительные к состоянию кристаллической структуры.

Эпитаксиальные двухслойные пленки GaAs, легированные серой, были получены на подложках полуизолирующего GaAs (100) хлоридным методом в системе Ga—AsCl<sub>3</sub>—H<sub>2</sub> по технологии, аналогичной описанной в [2]. Параметры структур приведены в таблице.

Использовалось три способа утоньшения подложки от исходной толщины  $h_0 \sim 300$  мкм до требуемой  $h_x$ : I — шлифование подложки связанным абразивом ACM 40/28 до толщины  $\sim 150$  мкм; II — шлифование подложки свободным абразивом М-10 до толщины  $\sim 250$  мкм; III — шлифование связанным алмазом до толщины 200 мкм с последующей полировкой на пасте ACM 3/2 до толщины  $\leq 150$  мкм.

| № образца | Марка подложки | Толщина исходной структуры $h_0$ , мкм | типа ЭС     | Эпитаксиальный слой (ЭС) |                |                                  |                     |                    |
|-----------|----------------|--|-------------|--------------------------|----------------|----------------------------------|---------------------|--------------------|
|           |                |  |             | толщина слоев            |                | концентрация свободных носителей |                     |                    |
|           |                |  |             | $d_{n+n+}$ , мкм         | $d_{nn}$ , мкм | $n^+$ , см $^{-3}$               | $n$ , см $^{-3}$    | $n^-$ , см $^{-3}$ |
| 1         | АГЧО           | ~300                                   | $n^+ n^+ n$ | 1.2                      | —              | $2 \cdot 10^{18}$                | $4 \cdot 10^{16}$   | —                  |
| 2         | АГЧП           | ~300                                   | $n n n^-$   | —                        | 0.52           | —                                | $1.1 \cdot 10^{17}$ | $< 10^{14}$        |
| 3         | АГЧП           | 298                                    | $n n n^-$   | —                        | 0.52           | —                                | $1.1 \cdot 10^{17}$ | $< 10^{14}$        |
| 4         | АГЧП           | ~300                                   | $n n n^-$   | —                        | 0.54           | —                                | $1.1 \cdot 10^{17}$ | $< 10^{14}$        |

Спектры низкотемпературной фотолюминесценции ( $T=4-10$  К) возбуждались линией  $\text{Ar}^+$  514.5 нм лазера ЛГН-503 или линией 632.8 нм Не-Не-лазера. Интенсивность возбуждающего света изменялась от  $10^{15}$  до  $10^{20}$  фотон/ $\text{см}^2 \cdot \text{с}$ . Регистрация производилась в спектральном интервале 0.8—1.2 мкм на комплексе КСВУ-23 с использованием ФЭУ-62. Точность измерений составляла  $\sim 0.002$  эВ. Измерения повторялись при хранении образцов в течение года при комнатной температуре с интервалом 2—3 месяца.

Контроль структурного совершенства эпитаксиальных структур осуществлялся рентгенодифракционными методами. При этом использовалась рентгеновская топография в геометрии на отражение как со стороны пленки, так и со стороны обработки, а также рентгенодифрактометрические методы для измерения макроизгиба системы и глубины нарушенного слоя, возникающего в результате утоньшения подложек [3].

На рис. 1 представлены спектры низкотемпературной ФЛ для исходных эпитаксиальных слоев GaAs (кривая 1) и после утоньшения подложки от толщины  $h_0 \approx 300$  до  $h_x = 150$  мкм различными способами. Спектр в близокраевой области выявляет пять полос различной интенсивности  $I$ . Наиболее интенсивная полоса  $I_1$  с энергией  $E_1 = 1.515$  эВ обусловлена излучательной аннигиляцией связанных экситонов [4]. Исследования фотолюминесценции исходных образцов со снятой пленкой, а также со стороны подложки показали почти полное отсутствие пика  $I_1$ . Это указывает на то, что структурное совершенство пленок значительно превосходит структурное совершенство подложек. Рентгеновские исследования [3] показали развитую ячеистую структуру подложки со средней плотностью дислокаций  $N_D \sim 10^5 \text{ см}^{-2}$  и с плотностью в границах ячеек  $N_D > > 10^7 \text{ см}^{-2}$  (средние размеры ячеек  $\sim 0.2 \div 0.6$  мм) и отсутствие дислокаций несоответствия в границе раздела. Поскольку измеренные значения несоответствия решеток пленка—подложка  $f$  оказались  $\leqslant 1 \cdot 10^{-3}$ , толщина пленки на исследованных структурах  $\sim 1$  мкм является слабо докритической для введения дислокаций несоответствия. Поэтому пленка находится в псевдоморфном состоянии с практически однородной упругой деформацией  $\varepsilon = -f$  с отсутствием дислокаций несоответствия, что обеспечивает ее высокое структурное совершенство.

Шлифовка обратной стороны приводила к резкому гашению экситонного пика (кривая 2) при практической неизменности состояния соседнего пика  $I_2$  с энергией  $E_2 = 1.493$  эВ, обусловленного переходами на акцепторное состояние ( $\text{C}_{\text{As}}$ ) [5]. Слабая полоса  $I_2^{1,0}$  с  $E = 1.457$  эВ является фононным повторением полосы 1.493 эВ ( $\hbar\omega_{L0} = 0.036$  эВ). Эта неизменность интенсивности полосы  $I_2$  подчеркивает отсутствие значительных изменений в системе акцепторов (остаточных примесей) при шлифовке. Углерод является остаточной примесью, вводимой в кристалл при выращивании. Пика ФЛ, соответствующего остаточной примеси кремния с  $E \sim 1.487$  эВ (акцептор  $\text{Si}_{\text{As}}$ ), не наблюдалось. Основная легирующая примесь  $\text{S}_{\text{Ga}}$  является очень мелким донором и не разрешалась в спектрах ФЛ.

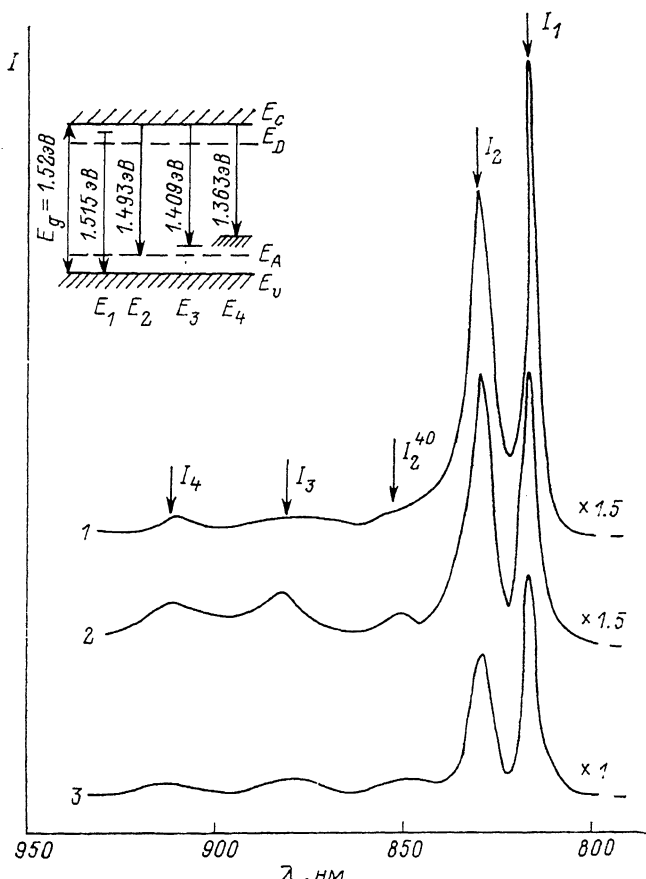


Рис. 1. Спектральная зависимость ФЛ исходного образца  $\mathcal{Z}$  после шлифовки по I и III способам (1—3 соответственно).

На вставке — энергетическая схема переходов.  $T=6$  К.

Рентгеновские исследования [3] показали, что в шлифованных с обратной стороны структурах происходит изменение изгиба всей системы ( $R^{-1}$ ). Ранее практически сферический изгиб становится несферическим. При этом изменяется не только средняя кривизна системы, которая меняет знак, но она оказывается сильно модулированной — осциллирует с шагом несколько сотен нанометров. Это свидетельствует о том, что деформации в пленке латерально неоднородны, несмотря на пространственную удаленность нарушенного слоя.

Расчет перераспределения деформационных полей в пленках при утоньшении подложки, выполненный в [3], показал незначительное увеличение напряжений в пленках ( $3 \div 10\%$  от исходной величины при уменьшении толщины подложки в 2 раза в зависимости от используемой модели нарушенного слоя). Несмотря на общее небольшое изменение упругой деформации в пленке, из-за наличия собственной деформации нарушенного слоя происходит существенное изменение деформационных полей вблизи нерабочей поверхности и возможно образование дислокаций несоответствия в границе раздела. В случае, когда толщина пленки в исходной структуре близка к критическому значению  $d_{cr} = b/f$  ( $b$  — модуль вектора Бюргерса характерных дислокаций,  $f$  — несоответствие слоя пленка—подложка), для введения дислокаций несоответствия собственная деформация, вводимая при шлифовке, может приводить к потере

устойчивости псевдоморфного состояния. В результате этого дислокации могут вводиться в границу раздела пленка—подложка, играя роль дислокаций несоответствия.

Зарождение этих дислокаций удалось наблюдать с помощью рентгеновской топографии в геометрии Брэгга (на отражение со стороны пленки) при использовании  $\text{CuK}_{\alpha}$ -излучения и отражения типа 531. Воспользовавшись этим фактом, можно связать возникновение в шлифованных образцах пика люминесценции  $I_3$  ( $E_3=1.409$  эВ) с изменением дефектной структуры пленки (в том числе и дислокационной). Исследования ФЛ при различных температурах (4.2, 77, 100, 300 К) указывают на акцепторный характер связанных с этой полосой состояний.

Полировка образцов с нерабочей стороны снимает часть нарушенного слоя (по данным рентгеновских измерений его толщина оказывается меньше 5 мкм с плотностью дислокаций  $\sim 10^7$ — $10^8 \text{ см}^{-2}$ ). Результирующее уменьшение собственной деформации делает толщину ЭС снова докритической с возможным преобразованием дислокационной структуры, сопровождающейся уменьшением интенсивности пика с  $E_3=1.409$  эВ и некоторым повышением пика экситонной люминесценции (кривая 3).

Имеются литературные данные (см., например, [5]), в которых полосу с  $I_3=1.409$  эВ связывают с комплексом: акцепторная примесь в подрешетке мышьяка — вакансия галлия ( $V_{\text{Ga}}V_{\text{As}}$ ) либо с комплексом дефектов  $V_{\text{Ga}}V_{\text{As}}$  [5]. Окончательное выяснение природы полосы  $I_3$  требует дальнейших исследований.

Наиболее длинноволновый пик с  $E_4=1.36$  эВ и фононным повторением  $I_4^{lo}$  с  $E=1.327$  эВ связан с дефектами подложки и его интенсивность практически не изменялась при всех обработках. В работе [6] полосу  $I_4$  связывают с температурно перестроенной конфигурацией дефектов, связанных с вакансиями

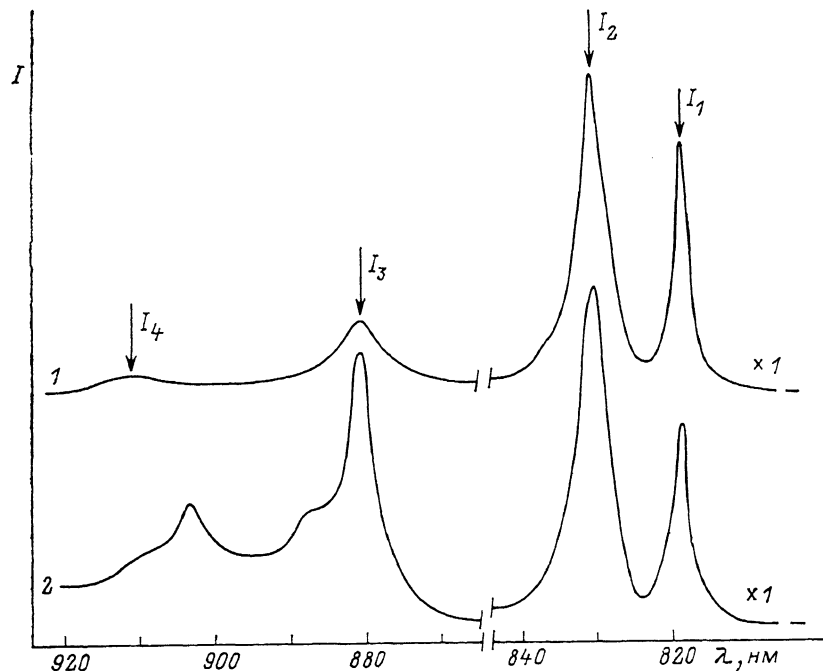


Рис. 2. Фотолюминесценция исходного образца 4 после хранения в течение 1 месяца (1) после шлифовки его по II способу (2) ( $T=6$  К).

мышьяка, либо с дефектным комплексом, содержащим  $V_{Ga}$  (уровень  $V_{Ga}$  лежит выше дна валентной зоны на 0.18 эВ). Не исключается и присутствие Си в комплексах типа  $V_{Ga}Cu_{Ga}V_{Ga}$ ,  $S_{As}Cu_{Ga}V_{As}$  или акцептора  $Cu_{Ga}$  как основной загрязняющей примеси в GaAs [7].

Таким образом, проведенные исследования позволяют сделать вывод о том, что создание нарушенного слоя с обратной стороны подложки шлифовкой может сильно влиять на структурное совершенство epitаксиальной пленки, заключающееся как в перераспределении системы точечных дефектов, так и в возникновении дислокационной структуры в виде дислокаций несоответствия. Электронные состояния, отвечающие этим дефектам (возможно, дислокациям несоответствия) в исследованных пленках  $n$ -типа проводимости носят акцепторный характер и обусловливают пик люминесценции с максимумом при  $E=1.409$  эВ. Соответственно деформационный и электростатический потенциалы этих дислокаций, деформируя форму разрешенных зон, стимулируют разрушение экситонных состояний.

Измерения люминесценции в процессе хранения показывают некоторое перераспределение интенсивности между пиками (рис. 2). Это свидетельствует о том, что релаксация при шлифовке является неполной. Действительно, поскольку в арсениде галлия барьер Пайерлса весьма значителен ( $\sim 1$  эВ), движение дислокаций на границе раздела происходит вследствие высокой концентрации напряжений в нарушенном слое. Поскольку по мере введения дислокаций несоответствия напряжения уменьшаются, движение следующих дислокаций сильно затормаживается и релаксация останавливается, не достигнув равновесного состояния. При хранении такой частично релаксированной системы в ней происходит диффузионный дрейф дислокаций и точечных дефектов в поле недорелаксированных напряжений, что и объясняет эволюцию пиков.

Эти обстоятельства необходимо учитывать при исследовании процессов деградации приборов.

#### Список литературы

- [1] O'Connor J. M., Dvorsky, Hier H. S., Rief W. P. // J. Electrochem. Soc. 1988. V. 135. N 1. P. 190—193.
- [2] Knight J. R., Effer D., Evans P. R. // Sol. St. Electron. 1965. V. 8. P. 178—180.
- [3] Кладько В. П., Крыштаб Т. Г., Семенова Г. Н., Хазан Л. С. // ФТТ. 1991. Т. 33. В. 11. С. 3192—3198.
- [4] Leitch A. W. R., Ehlers H. L. // Infr. Phys. 1988. V. 28. N 6. P. 433—440.
- [5] Lum W. Y., Wider H. H. // J. Appl. Phys. 1978. V. 49. N 12. P. 6187—6188.
- [6] Swaminathan V., Caruso R., Pearton S. J. // J. Appl. Phys. 1988. V. 63. N 6. P. 2164—2167.
- [7] Оборина Е. И., Мелев В. Г., Пороховниченко Л. П., Рамазанов П. Е. // Изв. АН СССР, Неорг. матер. 1986. Т. 22. В. 1. С. 5—8.

Институт полупроводников  
АН Украины  
Киев

Получена 17.09.1991  
Принята к печати 1.10.1991